

京都大学防災研究所 正員 萩田和男
京都大学防災研究所 正員 ○江頭進治

1. まえがき 貯水池渦水内顎の顕在化は併存し、最近、その機構究明や対策に関する研究が活発になりつつある。若石^{(1), (2)}は、名に1次および2次躍層が形成されていて、流れによる密度場の変形を考慮しなくともよりような单纯な成層場における濁度物質の挙動について、実験的・理論的に検討することから、実際の貯水池における解析手法について考察を進めてきた。ここでは、実際の貯水池における適用例について若干の検討を行う。
2. 解析手法および適用例 まず、解析手法について概説するところとする。貯水池で2次躍層が形成されていける下流部(領域D)と2次躍層のない上流部(領域U)に分割し、それらの領域の幾何学的形状や流れの場を、水深 H 、済水断面積 A 、河岸幅 B とする、つぎのように定式化する。

領域U: $H = H_0(1 + hX^m)$, $A = A_0(1 + aX^m)$ ……(1), 領域D: $B = \bar{B}$, h_1, h_2, h_3, h_L : 図-1参照。
 $\therefore h$, H_0, A_0 : 原点の水深および済水断面積。 \bar{B} : 領域Dの中央部における取水施設の平均幅。これら2領域における濁度物質の挙動特性には、済水断面積や流れの場の違いにより、顕著な相違が認められる。この相違を輪巡方程式で表示すると、領域Uにおいては移流分散方程式、領域Dにおいては2次元移流拡散方程式で近似されるものと考えられる。これらは、それとれ次式で示された。

$$\frac{\partial C}{\partial t} + U \frac{\partial C}{\partial x} = \frac{1}{A} \frac{\partial}{\partial x} (A K_x \frac{\partial C}{\partial x}) \quad \dots\dots(2), \quad \frac{\partial C}{\partial t} + u \frac{\partial C}{\partial x} + w_0 \frac{\partial C}{\partial z} = \frac{\partial}{\partial x} (\epsilon_x \frac{\partial C}{\partial x}) + \frac{\partial}{\partial z} (\epsilon_z \frac{\partial C}{\partial z}) \quad \dots\dots(3)$$

$\therefore h$, K_x : 分散係数、 w_0 : 粒子沉降速度、他は慣用記号である。左図1, x 軸は水面から鉛直下向が正。
(2) 式にふり2個、(3) 式にふり4個の境界条件が必要であり、これらの条件式は図-1に示すとおりである。なお、図中の各式は黒点間の領域で適用される。実際の貯水池において、これらの式を適用する際、 K_x 、 u 、 ϵ_x 、 ϵ_z の推定は重要であるが、ここでは、それとれ次式で表示で此のものを使用することにする。

$$K_x = \alpha U_* H, \quad (U_*: 水流速度, \alpha=1000)$$

$$u = \begin{cases} u_m e^{-(z-h_s)^2/2\sigma^2}, & (0 \leq z \leq h_s) \\ u_m [1 - (z-h_s)/(h_s - h_3)], & (h_s < z \leq h_3) \end{cases}$$

$$\epsilon_x / \epsilon_z = \begin{cases} \frac{\Delta P/2}{\Delta P/2} \cdot \frac{K_x \bar{U}}{R_i *}, & (0 \leq z \leq h_3) \\ 1/30 \sqrt{5/2} \bar{U} h_L, & (h_3 < z \leq h_1) \end{cases}$$

$\therefore h$, h_s : 渦水口の位置標、 σ : 標準偏差、 P : 密度、 ΔP : 流入水と底層水の密度差、 K : 定数、 \bar{U} : 平均流速、 R_i* : overall-Richardson Number、 t_i : 界面抵抗係数。他は図-1参照。

図-2によれば、上述の方法を新宮川水系風屋貯水池に適用した結果が示されている。0~100 hrまでのダム頂部の一人(2)と余水放流が行われていてため、流速分布および拡散

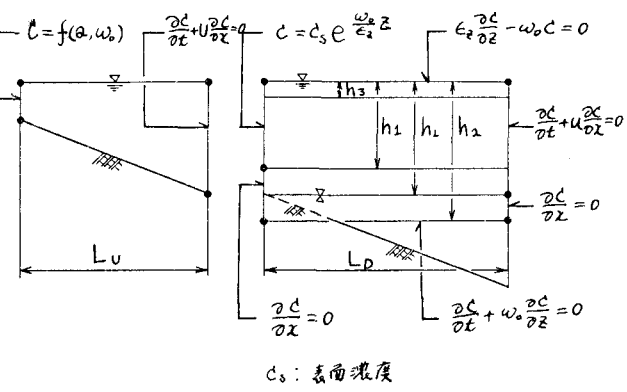


図-1. 境界条件が示された流れの場の模式図

係数の推定に際し、この
ことが考慮されてある。
図中の日は流量で、216
時間日以後図示されてい
ないが、これ以後40～
60 m³/sec の取水が継続し
を行なわれていい。C_i
は流入渦水濃度の推定値
で、既往の資料が C_i
 $\propto Q^{1.35}$ の関係を用
いて推定されていい。

C_{out} は取放水濃度の計算値である。図から明らかにすこし、
計算値と観測値とはきわめてよく一致していいように思われる。

図3 (a)～(d) には、領域 D の躍層領域下面より上方 ($0 \leq z \leq h_2$) における池内濃度分布に因するシミュレーション結果が示されていい。図中の時間 ($T = 0$ hr) は図2の時間軸に対応するものである。(a) 図には 24 hr 時点における等濃度線が示されており、また、取水口および躍層面近傍は渦としていい。(b) 図には、取放水濃度がピーク値を示す時刻のものと示されており、躍層面近傍に濃度物質の侵入が進むつてある。(c) 図は、表層はかなり清浄化されているが、躍層の領域に雲状の高濃度部が滞留している状況を示していい。(d) 図のものは、流出水濃度も漸減期にあり、全領域にわたる清浄化の傾向にある。

3. まことに 以上、解析手法の概略と実際の貯水池への適用例について述べた。図2を示すところの計算結果と観測値とはきわめてよく一致しており、また、観測値との直接の比較はなされなかつたが、池内濃度分布に因するシミュレーション結果は、実際、貯水池で計られるような分布形を呈していいものと推察され、ここで述べた取り扱い法の妥当性が得られたものと思われる。

しかししながら、 K_x 、 U 、 ϵ_x 、 ϵ_z などの推定や躍層の位置の推定に関しては、空明になりければならない問題が多くあり、今後の研究の進展が外要である。なお、これらの問題や解析手法上の問題点については満喫時に述べる。

参考文献 1) 萩原・江頭：密度躍層のある場における濃度物質の挙動と肉厚の研究(1), 京大防災研年報, 18号B, 昭50, 6
同(2), 京大防災研年報, 19号B, 昭51, 4.

2) 萩原・江頭：非一様密度場における濃度物質の拡散と滞留機構, 第20回国水講論文集, 1976, 2

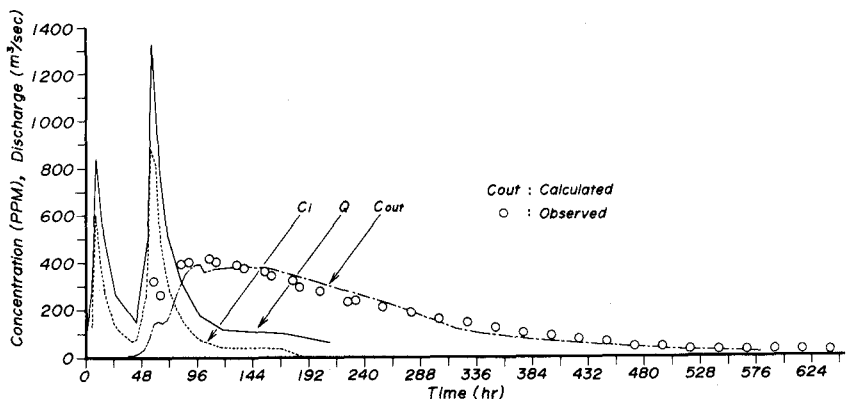
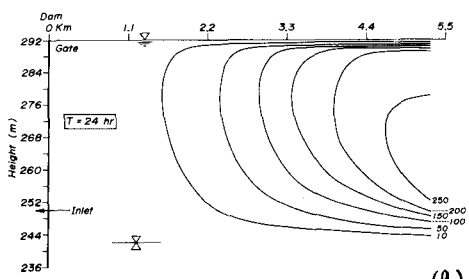
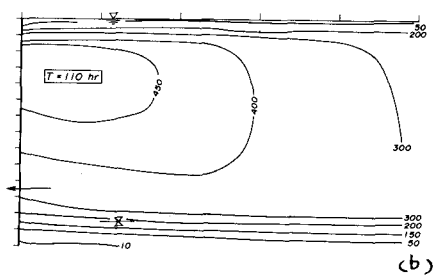


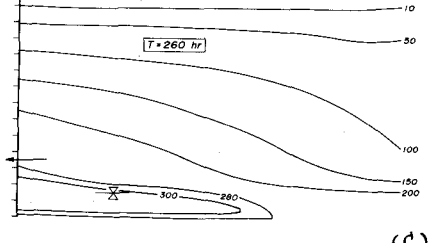
図-2. 流出濃度は因する計算値と観測値の比較



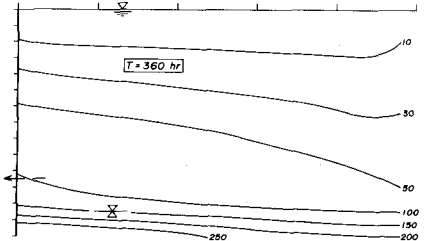
(a)



(b)



(c)



(d)

図-3. 池内濃度分布に因する数値シミュレーション(等濃度線の単位は PPM)